

Symmetrie Fig. 191. Sieben Gestaltstypen entsprechend Fig. 191 und 169.

- A. Tetragonales Prisma erster Stellung.
- B. Tetragonales Prisma zweiter Stellung.
- C. Pinakoid.
1. Bisphenoide erster Stellung, + und —.
2. Bisphenoide zweiter Stellung, vorn oben, vorn unten.
3. Tetragonale Prismen dritter Stellung, rechts und links.
4. Bisphenoide dritter Stellung, + und —, rechts und links.

Beispiele für das tetragonale System.

Fig. 179. Zirkon. Ditetragonal-bipyramidal.  $o \{111\}$ ;  $p \{110\}$ .

Fig. 192. Zirkon. Ditetragonal-bipyramidal.  $p \{110\}$ ;  $o \{111\}$ .

Fig. 193. Zirkon. (Hyazinth.) Ditetragonal-bipyramidal.  $a \{100\}$ ;  $o \{111\}$ .

Fig. 194. Zinnstein. Ditetragonal-bipyramidal.  $o \{111\}$ ;  $r \{101\}$ ;  $p \{110\}$ ;  $s \{100\}$ .

Fig. 195. Pentaerythrit. Ditetragonal - pyramidal.  $c \{001\}$ ;  $o \{111\}$ ;  $o' \{1\bar{1}1\}$ ;  $a \{100\}$ .

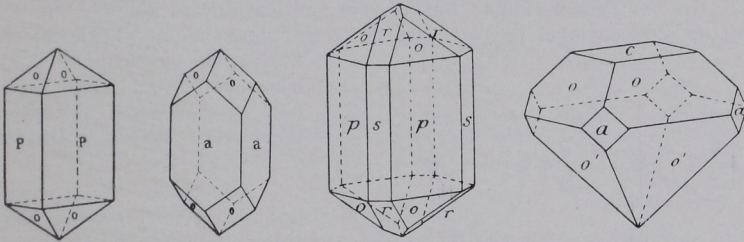


Fig. 192. Zirkon.

Fig. 193. Zirkon.  
(Hyazinth.)

Fig. 194. Zinnstein.

Fig. 195. Pentaerythrit.

Fig. 196. Scheelit. Tetragonal-bipyramidal.  $o \{111\}$ ;  $m \{430\}$ .

Fig. 197. Harnstoff. Tetragonal-skalenoedrisch.  $c \{001\}$ ;  $o \{111\}$ ;  $p \{110\}$ .

Fig. 198. Kupferkies. Tetragonal-skalenoedrisch.  $p \{111\}$ ;  $p' \{1\bar{1}1\}$ ;  $z \{201\}$ .

Fig. 199. Stereographische Projektion der Fig. 195.

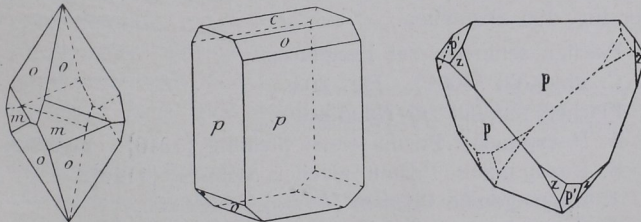


Fig. 196. Scheelit.

Fig. 197. Harnstoff.

Fig. 198. Kupferkies.